

определяющих ТГФ. Если скорость и величина изменения зависят от температуры [13], то возможно возникновение гистерезиса.

Авторы признательны В. Фусу и Х. Меллу за предоставление образцов *a-Si : H*, легированных бором.

Список литературы

- [1] Vanier P. E. // Solar Cells. 1983. V. 9. N 1. P. 85—93.
- [2] Vanier P. E. // Semicond. a. Semimet. 1984. V. 21. Pt B. P. 329—358.
- [3] Vomvas A., Fritzsche H. // J. Non-Cryst. Sol. 1998. V. 97-98. P. 823—826.
- [4] Vanier P. E., Delahoy A. E., Griffith R. W. // J. Appl. Phys. 1981. V. 52. N 8. P. 5235—5242.
- [5] Dersch H., Schweitzer L. // J. Non-Cryst. Sol. 1983. V. 59-60. P. 337—340.
- [6] Fuhs W., Welsh H. M., Booth D. C. // Phys. St. Sol. (b). 1983. V. 120. N 1. P. 198—205.
- [7] Болд З., Казанский А. Г., Климаншин И. В., Миличевич Е. П., Теруков Е. И. // ФТП. 1988. Т. 22. В. 12. С. 2173—2176.
- [8] Буторин О. В., Казанский А. Г. // Деп. в ВИНИТИ АН СССР. М., 1988. № 2764-В88.
- [9] Nitta Y., Abe K., Hattori K., Okamoto H., Hamakawa Y. // J. Non-Cryst. Sol. 1987. V. 97-98. P. 695—698.
- [10] Балагуров Л. А., Омельяновский Э. М., Пинскер Т. Н., Примбетов К. К., Уткин-Эдия Д. П. // ФТП. 1988. Т. 22. В. 1. С. 155—157.
- [11] Street R. A., Kakalios J., Hayes T. M. // Phys. Rev. 1987. V. 34. N 4. P. 3030—3033.
- [12] Aker B., Fritzsche H. // J. Appl. Phys. 1983. V. 54. N 11. P. 6628—6633.
- [13] Stutzmann M., Jackson W. B., Tsai C. C. // Phys. Rev. B. 1985. V. 32. N 1. P. 23—47.

Московский государственный университет
им. М. В. Ломоносова

Получено 3.01.1990
Принято к печати 14.02.1990

ФТП, том 24, вып. 6, 1990

ИНВЕРТИРОВАННАЯ ГЕТЕРОСТРУКТУРА InP/In_{0.53}Ga_{0.47}As ДЛЯ ПОЛЕВОГО ТРАНЗИСТОРА

Крещук А. М., Лаурс Е. П., Новиков С. В., Савельев И. Г.,
Семашко Е. М., Столововой М. А., Шик А. Я.

Твердый раствор In_{0.53}Ga_{0.47}As, изопериодичный с InP, в настоящее время считается оптимальным материалом для канала полевого транзистора (ПТ) [1]. В связи с этим важным и перспективным объектом для создания ПТ является селективно легированная гетероструктура (СЛГС) InP/InGaAs, в которой двухмерный электронный газ (2МЭГ) локализован в слое InGaAs у гетерограницы. Такая СЛГС может быть получена в двух конфигурациях: прямой (ПСЛГС), у которой верхним по отношению к 2МЭГ является широкозонный легированный слой InP, и инвертированной (ИСЛГС), у которой верхним является чистый слой InGaAs. Данная работа посвящена сопоставительному анализу этих двух конфигураций гетероструктур InP/InGaAs как основы для создания ПТ с 2МЭГ.

Для решения этой задачи рассматривается модель транзистора с затвором в виде барьера Шоттки, приведенная на рис. 1. В случае прямой структуры верхний слой 1 толщиной d — легированный InP с концентрацией доноров N_D , а слой 2 — нелегированный слой твердого раствора InGaAs. Для инвертированной структуры слой 1 — InGaAs, слой 2 — InP. В качестве параметра для сравнения выбрана удельная крутизна g короткоканального ПТ, в котором дрейфовая скорость электронов под затвором насыщается при $v_S = 2.8 \cdot 10^7$ см/с [2]. При этом [3]

$$g = \frac{v_S}{d \pm z(n_s) + 2L_{c3}v_S/e n_s \mu}. \quad (1)$$

Здесь учтено, что последовательно с управляемой частью канала включено сопротивление проводящего канала вне затвора $R_c = 2L_{c3}/e n_s \mu$ (L_{c3} — расстояние между стоком и затвором, n_s и μ — концентрация и подвижность 2МЭГ).

а двумерные электроны локализованы в InGaAs на среднем расстоянии от гетерограницы [4] $z(n_s) = (9\pi h^2 / 16\pi m e^2 n_s)^{1/2}$ ($\chi = 13.7$ — диэлектрическая проницаемость, $m = 0.041m_0$ — эффективная масса электронов в InGaAs). Это увеличивает эффективное расстояние от затвора до канала в прямой структуре [знак «+» в (1)] и уменьшает его в ИСЛГС [знак «—» в (1)]. Для сопоставления величин крутизны ПТ на ПСЛГС и ИСЛГС рассмотрим зависимость параметров 2МЭГ от толщины d для прямой и инвертированной структур. При температурах 300 К подвижность 2МЭГ в СЛГС определяется в основном рассеянием на колебаниях решетки и слабо зависит от параметров СЛГС (толщин слоев и концентраций примесей). Поэтому в дальнейшем будем считать, что подвижность 2МЭГ равняется максимальной расчетной подвижности электронов в твердом растворе $In_{0.53}Ga_{0.47}As$ $\mu = 1.3 \cdot 10^4 \text{ см}^2/\text{В} \cdot \text{с}$ [5].

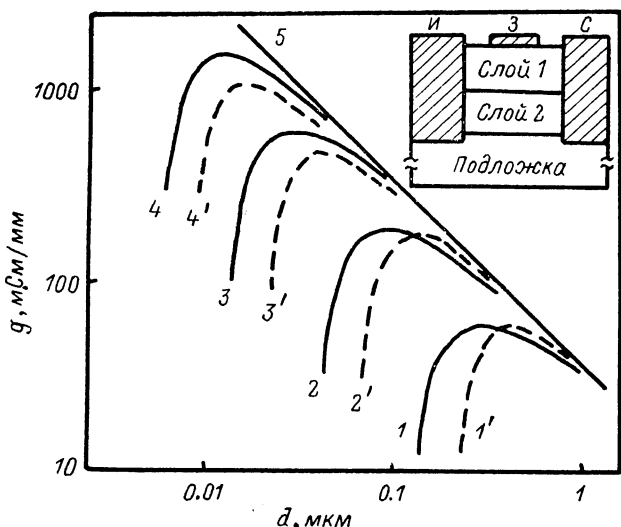


Рис. 1. Расчетные зависимости удельной крутизны полевого транзистора с 2МЭГ на основе прямой (1'—4') и инвертированной (1—4) гетероструктур InP/InGaAs от толщины верхнего слоя при различных концентрациях доноров в слое InP.

$N_D, \text{см}^{-3}$: 1, 1' — $1 \cdot 10^{16}$, 2, 2' — $1 \cdot 10^{17}$, 3, 3' — $1 \cdot 10^{18}$, 4, 4' — $5 \cdot 10^{18}$; 5 — ∞ . На вставке — схематическое изображение полевого транзистора с 2МЭГ.

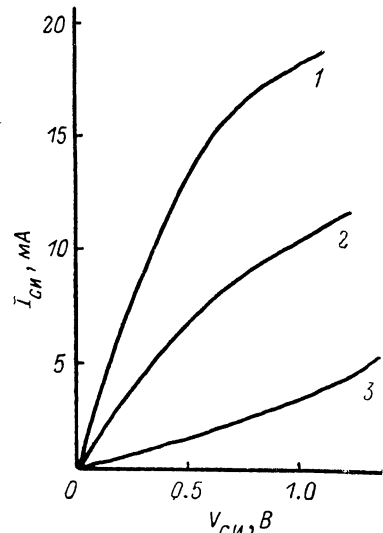


Рис. 2. Экспериментальные вольт-амперные характеристики сток-исток полевого транзистора на основе гетероструктуры InP/InGaAs с 2МЭГ, выращенной жидкотекущей эпитаксией.

Напряжение $V_{CI}, \text{В}$: 1 — 0, 2 — -0.5 , 3 — -1 .

Концентрация 2МЭГ определяется соотношением зарядов в гетероструктуре и может зависеть от толщины слоев СЛГС. В ПСЛГС верхний слой является источником электронов, при уменьшении его толщины уменьшается количество доноров, способных отдать электроны в 2МЭГ. С учетом перезарядки поверхностных состояний [6], приводящих к пиннингу уровня Ферми на поверхности при энергии $E_{S1} \approx (1/3) E_g$, можно записать

$$n_s = \frac{N_D d}{2} - \frac{\chi(E_{S1} - \Delta\Phi_c)}{4\pi e^2 d}, \quad (2)$$

где $\Delta\Phi_c = E_c - E_1 - (E_F - E_1)$ — изгиб зон в InP у гетерограницы — слабо зависит от n_s , и для дальнейших оценок будем считать, что $\Delta\Phi_c = 0.2 \text{ эВ} = \text{const}(n_s)$. Подставив выражение (2) в (1), можно рассчитать зависимость крутизны ПТ от d на ПСЛГС. Результаты такого расчета приведены штриховыми линиями на рис. 1 при нескольких концентрациях доноров N_D в слое InP.

В случае ИСЛГС уменьшение толщины верхнего слоя не связано со снижением числа доноров, отдающих электроны в проводящий канал. Однако проведенные нами в работе [6] теоретические и экспериментальные исследования показали, что n_s в ИСЛГС зависит от d из-за перезарядки поверхностных состояний при приближении гетерограницы к поверхности:

$$n_S = \left(\frac{\pi N_D \Delta \Phi_C}{2\pi e^2} \right)^{1/2} - \frac{\pi E_{S2}}{4\pi e^2 d}, \quad (3)$$

где $E_{S2} = (0.3 \pm 0.05)$ эВ [6]. Результаты расчета на основе выражений (3) и (1) показаны на рис. 1 сплошными линиями для различных концентраций доноров в слое InP. Видно, что зависимости $g(d)$ для ПТ на основе как ПСЛГС, так и ИСЛГС имеют максимум, который смещается к меньшим d и большим g при возрастании N_D . Однако для ПТ на инвертированных гетероструктурах максимум расположен при меньших толщинах слоев, а значения крутизны в максимуме возрастают с увеличением N_D быстрее, чем для ПТ на ПСЛГС.

Таким образом, результаты проделанного расчета позволяют для конкретной концентрации доноров в InP выбрать оптимальную толщину верхнего слоя СЛГС, при которой крутизна ПТ с 2МЭГ будет максимальной. Показано, что при фиксированном N_D крутизна ПТ на ИСЛГС в оптимуме превышает крутизну ПТ на ПСЛГС, причем различие увеличивается по мере возрастания N_D .

Приведенные соображения стимулировали работы по созданию ПТ на СЛГС InP/InGaAs с 2МЭГ, причем в первую очередь инвертированного типа. Для этого использовались имеющиеся в нашем распоряжении гетероструктуры с $N_D = 1 \cdot 10^{16}$ см⁻³, полученные жидкокристаллической эпитаксией [6]. Исходя из расчетных данных (рис. 1, кривая 1), толщину верхнего слоя выбрали равной 0.3 мкм. Макетные образцы ПТ для исследований изготавливались по технологии, описанной ранее в [7]. При этом расстояние между стоком и истоком 5, длина затвора 1–1.2, ширина 300 мкм.

Максимальное значение крутизны полученного ПТ составляло 33 мСм/мм при комнатной температуре, что в 1.5 раза ниже предсказанного. Возможные причины этого — снижение подвижности из-за заметного разогрева 2МЭГ вне затвора и недостижения максимальной дрейфовой скорости электронов на всей протяженности канала под затвором, а также большие токи утечки ($I_{IZ} \approx 5$ мкА) при $V_3 = 1$ В.

Снижение температуры до 77 К приводит к увеличению крутизны до 55 мСм/мм, что связано с повышением подвижности 2МЭГ и уменьшением токов утечки до $I_{IZ} \approx 0.1$ мкА при $V_3 = 1$ В. На рис. 2 показана зависимость тока сток—исток от тянувшего напряжения при трех напряжениях на затворе при 77 К. Видно, что при обратном смещении 1 В происходит почти полное закрытие канала, тогда как при комнатной температуре достичь закрытия канала не удается, что может свидетельствовать о больших токах утечки через затвор или о существовании при 300 К паразитной проводимости а СЛГС.

Заключение. Проведено теоретическое сопоставление величин максимальной крутизны ПТ на основе прямой и инвертированной гетероструктур InP/InGaAs. Показано, что в обоих случаях для любой концентрации доноров в слое InP можно выбрать оптимальную толщину верхнего слоя. При этом максимальное расчетное значение крутизны ПТ на инвертированной гетероструктуре выше, чем на прямой, особенно при $N_D \geq 10^{18}$ см⁻³.

На имеющихся в нашем распоряжении инвертированных гетероструктурах InP/InGaAs с $N_D = 1 \cdot 10^{16}$ см⁻³, полученных жидкокристаллической эпитаксией, создан ПТ с 2МЭГ, обладающий близкими к расчетным параметрами, что демонстрирует перспективность создания ПТ на ИСЛГС InP/InGaAs.

Список литературы

- [1] Golio J., Trew R. J. // IEEE Trans. Electron. Dev. 1983. V. ED-30. P. 1411–1413.
- [2] Cho Y., Sakamoto R., Inoue M. // Sol. St. Electron. 1988. V. 31. N 3/4. P. 325–328.
- [3] Drummond T. J., Masselink W. T., Morkoc H. // Proc. IEEE. 1986. V. 74. N 6. P. 773–822.
- [4] Ando T., Fowler A. B., Stern F. // Rev. Mod. Phys. 1982. V. 54. N 2. P. 437–671.
- [5] Takeda Y. // Japan. J. Appl. Phys. 1984. V. 23. N 4. P. 446–452.
- [6] Берт Н. А., Воробьев В. В., Воронцова М. В., Крещук А. М., Новиков С. В., Погребицкий Ю. Ю., Савельев И. Г., Сайфидинов Д. Ж., Сошников И. П., Шик А. Я. // ФТП. 1990. Т. 24. В. 4. С. 653–659.
- [7] Алферов Ж. И., Босый В. И., Гореленок А. Т. и др. // Письма ЖТФ. 1988. Т. 14. В. 19. С. 1807–1810.